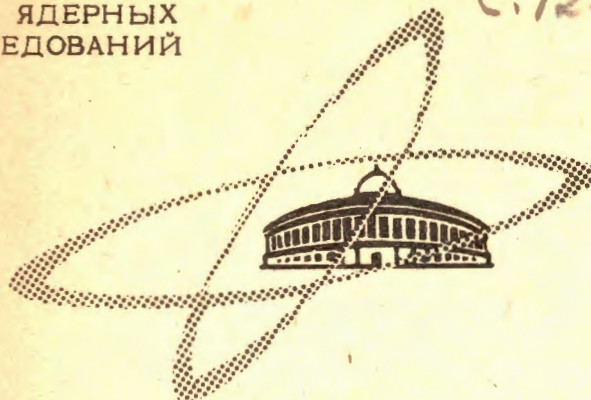


5-219  
ОБЪЕДИНЕННЫЙ  
ИНСТИТУТ  
ЯДЕРНЫХ  
ИССЛЕДОВАНИЙ

Дубна

ЯФ, 1967, 5, 8, 6,  
С. 1232-1238

P1 - 2963



Е. Баля, О. Баля, В.А. Беляков, Е.Н. Кладницкая,  
Е.С. Кузнецова, А. Михул, М. Сабэу

НЕУПРУГИЕ  $\pi^- p$  ВЗАИМОДЕЙСТВИЯ  
ПРИ ЭНЕРГИИ 7,5 ГЭВ

ЧАСТЬ III

4-ЛУЧЕВЫЕ СОБЫТИЯ С НЕЙТРОНАМИ

ЛАБОРАТОРИЯ ВЫСОКИХ ЭНЕРГИЙ

1966

P 1 - 2963

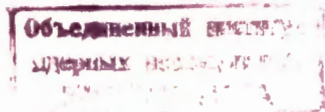
4610/3 №.

Е. Баля, О. Баля, В.А. Беляков, Е.Н. Кладницкая,  
Е.С. Кузнецова, А. Михул, М. Сабэу

НЕУПРУГИЕ  $\pi^- p$  ВЗАЙМОДЕЙСТВИЯ  
ПРИ ЭНЕРГИИ 7,5 ГЭВ

ЧАСТЬ III

4-ЛУЧЕВЫЕ СОБЫТИЯ С НЕЙТРОНАМИ



Настоящая работа выполнена совместно  
сотрудниками следующих институтов:

ОБЪЕДИНЕННЫЙ ИНСТИТУТ ЯДЕРНЫХ ИССЛЕДОВАНИЙ  
Лаборатория высоких энергий

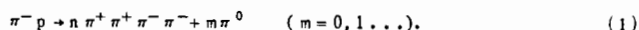
В.А. Беляков, Е.Н. Кладницкая, Е.С. Кузнецова

ИНСТИТУТ АТОМНОЙ ФИЗИКИ (БУХАРЕСТ)  
Лаборатория высоких энергий

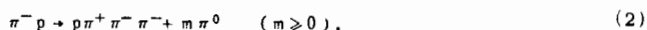
Е. Баля, О. Баля, А. Михул, М. Сабэу

## Введение

Настоящая работа является частью общего исследования четырехлучевых  $\pi^- p$  взаимодействий при энергии 7,5 Гэв, проведенного на фотографиях с пропановой пузырьковой камеры ЛВЭ ОИЯИ<sup>/1/</sup>. Предварительные результаты этого исследования сообщались на Международных конференциях в Кракове<sup>/2/</sup> и в Дубне<sup>/3/</sup>. События с протонами проанализированы в двух предыдущих публикациях<sup>/4,5/</sup>. Цель настоящей работы - анализ 524 событий, соответствующих реакциям типа



Просмотр, измерение, расчет и отбор событий описаны в работах<sup>/4,5/</sup>. Отметим, что среди отобранных событий есть небольшая (<10%) примесь событий от реакций



так как все частицы с импульсом больше 2,5 Гэв/с в лаб. системе считались пионами на основе результатов работ<sup>/6-8/</sup>. Примерно 15% событий по реакциям (1) попали в группу событий с протонами (2)<sup>/5/</sup>. Сечение реакций (1) при 7,5 Гэв равно  $3,7 \pm 0,3$  мб<sup>/5/</sup>.

## Экспериментальные результаты

### 1. Угловые и импульсные распределения пионов.

Угловые распределения  $\pi^+$  и  $\pi^-$ -мезонов показаны на рис. 1. Угловое распределение  $\pi^-$ -мезонов асимметрично и характеризуется отношением

$$\frac{\frac{n}{\pi} \pi^-}{\frac{n}{\pi} \pi^+} = 1,20 \pm 0,07$$

Угловое распределение  $\pi^+$ -мезонов близко к симметричному

$$\frac{\frac{n}{\pi} \pi^+}{\frac{n}{\pi} \pi^+} = 0,92 \pm 0,06.$$

В области  $0,8 < \cos\theta < 1,0$  наблюдаются подъемы как в распределении  $\pi^-$ , так и в распределении  $\pi^+$ -мезонов.

Импульсные распределения  $\pi^+$  и  $\pi^-$ -мезонов идентичны (рис. 2), средние значения равны соответственно

$$P^* \pi^+ = 481 \pm 10 \text{ Мэв/с}$$

$$P^* \pi^- = 475 \pm 10 \text{ Мэв/с}$$

На рис. 3 и 4 приведены двумерные распределения по  $P_L - P_{||}^*$  для  $\pi$ -мезонов. Большинство  $\pi$ -мезонов имеет поперечный импульс меньше 0,8 Гэв/с. Средние поперечные импульсы для них равны  $\bar{P}_{\pi^+} = 328 \pm 8 \text{ Гэв/с}$ ,  $\bar{P}_{\pi^-} = 332 \pm 7 \text{ Гэв/с}$ .

Продольные импульсы мезонов в с.ц.м. реакции невелики и для большинства событий они лежат в области  $\pm 300 \text{ Мэв/с}$  (рис. 3,4). Наблюдается заметная корреляция между поперечным и продольным импульсами пионов. Пионы с малыми и очень большими продольными импульсами имеют поперечные импульсы в среднем меньше, чем пионы с продольными импульсами в интервале  $0,3 \pm 0,8 \text{ Гэв/с}$ . Это более наглядно видно на рис. 5, где показаны средние поперечные импульсы пионов для различных интервалов продольных импульсов в с.ц.м. <sup>x)</sup> Подобная корреляция наблюдалась /4,5/.  
нами для вторичных частиц в реакциях с протонами.

Уменьшение поперечных импульсов частиц при приближении их продольных импульсов к максимально возможным в с.ц.м. следует из закона сохранения импульса. Значительное уменьшение  $P_{||}^*$  при малых  $P^*_{||}$  не может быть объяснено по фазовому объему и служит указанием в пользу образования частиц через два промежуточных возбужденных состояния. Сравнение экспериментальных данных, полученных при изучении  $\pi^- p$  взаимодействий (реакции 1) в интервале импульсов от 4 до 10 Гэв/с показывает, что имеется ряд общих характеристик этих взаимодействий. Сюда следует отнести асимметрию угловых распределений  $\pi^-$ -мезонов, симметрию угловых распределений  $\pi^+$ -мезонов, общий характер импульсных распределений вторичных частиц. Для вторичных частиц характерны в среднем малые величины поперечных импульсов (меньше допустимых фазовых объемов). Имеющиеся данные по средним значениям характеристик  $\pi$ -мезонов при импульсах 4 и 10 Гэв/с и данные настоящей работы суммированы в таблице 1. Видно, что с увеличением импульса первичных  $\pi^-$ -мезонов асимметрия угловых распределений  $\pi^-$ -мезонов возрастает, а угловые распределения  $\pi^+$ -мезонов остаются симметричными.

<sup>x/</sup> Вероятность совпадения полученного распределения с прямой линией меньше 0,01% (по критерию  $\chi^2$ ).

## Эффективные массы

Изучалось образование резонансных состояний в реакциях (1). Для этого были рассчитаны эффективные массы всех комбинаций из четырех заряженных частиц.

Распределение по эффективным массам пар  $\pi^+$  и  $\pi^-$ -мезонов показано на рис. 8а. Пиков, соответствующих  $\rho^0$  и  $f^0$ -мезонам, не наблюдается. Расхождение с фоновой кривой наблюдается в области малых значений масс (0,3–0,6 Гэв), что может быть следствием образования  $\omega^0$ -мезонов или других резонансных состояний. Фоновая кривая получена следующим образом.

### Парциальные сечения реакций



и



найдены путем интерполяции сечений этих реакций при 4 Гэв/с<sup>/9/</sup> к сечениям при 10 Гэв/с<sup>/10/</sup>.

Кроме того, мы воспользовались данными работы<sup>/11/</sup> по изучению  $\pi^- p$  взаимодействий при 6,1 Гэв/с. Авторы<sup>/11/</sup> нашли, что число событий по реакции (1a) близко к числу событий по реакции  $\pi^- p \rightarrow n\pi^+ \pi^+ \pi^- \pi^- + \pi^0$  (1b') (100 и 81 соответственно). При нашей энергии 7,5 Гэв мы считали, что сечения реакций 1a и 1b' одинаковы, а сечение реакций



пренебрежимо мало по сравнению с сечениями реакций 1b' и 1b''. Сечение реакций с двумя  $\pi^0$ -мезонами (1b'') принималось равным разности между сечениями реакций 1b и 1b'. В итоге мы имели вклады от реакций 1a, 1b', и 1b'', соответственно, 38%, 38% и 24%. Спектр эффективных масс  $M_{\pi^+ \pi^-}$  был исследован более подробно для событий, у которых и  $\pi^+$  и  $\pi^-$ -мезоны летят вперед в с.ц.м. и один из  $\pi$ -мезонов имеет импульс  $> 3$  Гэв/с в л.с. Исходя из периферического механизма образования  $\rho^0$ -мезонов<sup>/8,12/</sup>, следует ожидать появления  $\rho$ -мезонного пика именно в этой группе событий. Спектр  $M_{\pi^+ \pi^-}$  для событий с  $\cos\theta_{\pi^+}^* > 0$  и  $\cos\theta_{\pi^-}^* > 0$  и  $P_{\pi^+} > 3,0$  Гэв/с в л.с. показан на рис. 8в. Явно выделяется пик, соответствующий  $\rho^0$ -мезону (0,6–0,9 Гэв). Фоновая кривая получена по методу Монте-Карло. События с  $\rho^0$ -мезоном составляют 14% выделенной группы событий и ≈ 3% всех реакций с нейтронами. Не исключено, что выход экспериментального распределения  $M_{\pi^+ \pi^-}$  за фоновую кривую в районе 1,0–1,4 Гэв (рис. 8в) обусловлен образованием  $\chi_1^{(x)}$ -мезона, для которого раньше наблюдалась 4-пционная мода распада<sup>/3/</sup>, и  $f_0$ -мезона.

<sup>x/</sup> Название  $\chi$ -мезон заимствовано из обзора M. Roos /18/.

На рис. 7 приведено суммарное распределение по эффективным массам  $M_{\pi^+\pi^+\pi^-}$  и  $M_{\pi^-\pi^-\pi^+}$ . Наблюдаются расхождение между экспериментальным распределением и фоновой<sup>x)</sup> кривой в области меньших значений эффективных масс.

Трудно сказать что-либо о рождении  $A_1$  и  $A_2$ -мезонов по суммарному распределению. Так как преимущественной модой распада  $A_1$  и  $A_2$ -мезонов является распад на  $\pi$  и  $\rho$ -мезоны, мы построили спектр  $M_{\pi^+\pi^+\pi^-}$ -мезонов для событий, у которых по крайней мере одно значение  $M_{\pi^+\pi^-}$  попадает в полосу  $\rho^0$ -мезона (заштрихованная часть рис. 7). В этом распределении видны пики, соответствующие  $A_1$  и  $A_2$ -мезонам, но вклад их мал.

Спектр эффективных масс  $M_{4\pi}$  показан на рис. 8а. Видны отклонения от фоновой кривой в области до 1,7 Гэв, причем можно различить два пика, один в интервале 1,2-1,4 Гэв, другой - в области 1,5-1,7 Гэв. Пик в системе  $M_{4\pi}$  (1,2-1,4) наблюдался нами раньше для событий с рождением  $\Lambda^0$ -гиперонов и  $K$ -мезонов при энергиях 7-8 Гэв<sup>/14,15/</sup>. В качестве возможных объяснений этого пика выдвигались следующие:

- 1) образование резонанса с  $M_{4\pi} = 1340$  Мэв и  $\Gamma/2 = 70$  Мэв;
- 2) результат совместного рождения  $\rho$  и  $\omega$ -мезонов;
- 3) следствие рождения более высокого резонанса в системе пяти мезонов.

Исследование спектров эффективных масс  $(\pi^+\pi^-)$ -мезонов для событий с  $1,2 \text{ Гэв} < M_{4\pi} < 1,4 \text{ Гэв}$  показало, что имеется максимум в области 400-800 Мэв и не наблюдается максимума в области  $\rho^0$ -мезона. В связи с этим можно сказать, что пик в области 1,2-1,4 Гэв (рис. 8а) не связан с образованием  $\rho^0$ -мезона. Это либо самостоятельный резонанс, либо отражение какого-либо резонанса с участием  $\pi^0$ -мезона. В пользу последнего предположения говорит тот факт, что в группе событий, обогашенной событиями без  $\pi^0$ -мезонов (реакция 1а), не наблюдается пика в районе 1,2-1,4 Гэв (см. заштрихованную часть рис. 8а). Подобная ситуация имеет место в четырехлучевых звездах с нейтронами при энергии 6,1 Гэв<sup>/11/</sup>. Пик в области 1,5-1,7 Гэв может быть связан с резонансом в системе 4-пионов. Указания на образование резонанса с  $M_{4\pi} \approx 1,7$  Гэв имеются в работах<sup>/11,17/</sup>.

Кроме общего исследования всех четырехлучевых событий с нейтрионами, дополнительно изучалась группа событий, обогашенная событиями без  $\pi^0$ -мезонов. В эту группу вошли случаи с  $0,8 < \Lambda_m < 1,2$  Гэв, где  $\Lambda_m$  - недостающая масса. Таких событий оказалось 114 или 22% от общего числа событий по реакции (1).

Угловые и импульсные распределения вторичных частиц в с.ц.м. для выбранной группы событий показаны на рис. 9. Видно, что в угловом распределении  $\pi^-$ -мезонов

<sup>x/</sup> Фоновая кривая получена так же как и на рис. 8а.

(рис. 8в) наблюдается большая асимметрия, чем в угловом распределении  $\pi^-$ -мезонов для всех событий по реакциям (1) ( $\frac{N_{\pi^+}}{N_{\pi^-}} = 1,30 \pm 0,10$ ). Резко асимметрично угловое распределение нейтронов в с.ц.м. ( $\frac{N_n}{N_{\bar{n}}} = 0,31 \pm 0,07$ ). В распределении по  $M_{\pi^+\pi^-}$  (рис. 10с) наблюдается пик в области  $p^0$ -мезона. Над фоновой кривой находится 20% комбинаций  $M_{\pi^+\pi^-}$  от числа событий без  $p^0$ -мезона. В распределении по  $M_{3\pi}$  есть указание на образование  $A_2$  резонанса (рис. 8в). Пиков в интервале №1,2-1,4 и 1,5-1,7 Гэв нет в распределении по  $M_{4\pi}$  (см. заштрихованную часть на рис. 8а). В немногом числе случаев реакции 1а (<20%) образуется нуклонная изобара  $N_{33}^*$  (рис. 10а, в). Таким образом, в реакциях с нейтронами образуются  $p^0$ -мезоны (~3%), возможно  $X_1$ ,  $f^0$ ,  $A_1$  и  $A_2$ -мезоны, но вклады их малы. Представляет интерес дальнейшее изучение спектров  $M_{4\pi}$ , в частности, интервалов масс 1,2-1,4 Гэв и 1,5-1,7 Гэв, где, возможно, проявляются многопионные резонансы..

Наблюдавшиеся в реакциях  $\pi^- p \rightarrow \pi\pi^+ \pi^+ \pi^- \pi^- + n\pi^0$  ( $m > 0$ ) асимметрия угловых распределений  $\pi^-$ -мезонов и нейтронов, корреляция между поперечными и продольными импульсами вторичных частиц в с.ц.м., расхождение между экспериментальными и фазовыми распределениями эффективных масс служат указанием на образование вторичных частиц через промежуточные возбужденные состояния. Подобная ситуация наблюдалась нами для событий с протонами.

В заключение авторы выражают благодарность Э.Г. Бубелеву, М.И. Соловьеву, Н.М. Вирясову, И. Курелару, В.Н. Пеневу, Т. Понта за помощь в работе и обсуждение, сотрудникам Вычислительного центра Е.П. Жидкову, Н.Н. Говоруну, Н.Ф. Марковой, Г.Н. Тентюковой за обсуждение и составление программ для электронно-вычислительной машины, группе лаборантов за просмотр и измерения событий.

Румынские соавторы благодарят проф. Х. Хулубея за оказанную помощь и обсуждение работы.

#### Л и т е р а т у р а

1. Ван Ган-чан, М.И. Соловьев, Ю.Н. Шкобин. ПТЭ, 1, 41 (1959).
2. E. Balea. IX Konferencja Fizyki wysokich Energii, Krakow, 1963. Nucleonica 9 N 4-5 (1964).
3. Е.Н. Кладницкая Труды XII Международной конференции по физике высоких энергий в Дубне, 1964 г. стр. 469.
4. Е.Баля, О. Баля, В.А. Беляков, Е.Н. Кладницкая Е.С.Кузнецова, И. Курелару, А. Михул, М. Сабэу. Препринт ОИЯИ Р-2461, Дубна, 1985.
5. Е. Баля, О. Баля, В.А. Беляков, Е.Н. Кладницкая, Е.С. Кузнецова, А. Михул, М. Сабэу. Препринт ОИЯИ Р-2773, Дубна 1986.
6. В.А. Беляков, Ван Шу-фень, В.В. Глаголев, Н. Далхажав, Р.М. Лебедев, Н.Н. Мельникова, В.А. Никитин, В. Петржилка, В.А. Свиридов, М.Сук, К.Д. Толстов. ЖЭТФ, 39, 937 (1980).
7. K. Lanius Proc. of the 1962 Intern. Conf. on High Energy Physics at CERN, p 617.

8. M. Deutschman, R.Krichel, R.Speth, H.Weber, W.Woitschnig, C.Grote, J.Klugow, A.Meyer, S.Nowak,  
S.Brandt, V.T.Cocconi, O.Czyzewski, T.Danysz, P.Palpiaz.  
Труды XII Международной конференции по физике высоких энергий в Дубне, 1984 г.  
стр. 508.
9. Aachen - Birmingham - Bonn - Hamburg - London (I.C.). Munchen Collaboration  
Nuovo Cim. 31 485 (1964).
10. N.N. Biswas, I.Derado, M.Schmitz, W.D.Sherpard. Ph.Rev. 134 B 901 (1964).
11. G. Bellini, M.D.Corato, F.Duimio, E.Florini. Nuovo Cim. 40 A 948 (1965).
12. C.Aliff, D.Colley, N.Gelfand, V.Nauenberg, D.Riller, I.Steinberger, T.H.Tan, H.Brugger, P.Kramer,  
R.Piano. Proc.of the 1962 Intern .Conf.on High Energy Physics at CERN, p 50 .
13. Nguyen-Huu Xuong, G.R.Lynch. Nuovo Cim. 25 923 (1962); Ph.Rev. 128 1849 (1962).
14. V.A.Belyakov, Wang Yuhg-chang et al. Proc.of the 1962 Intern .Conf.on High Energy Physics at CERN,  
p 336. Препринт ОИЯИ Р-1019, Дубна 1982 г.
15. В.А. Беляков, В.И. Векслер, Н.М. Вирясов, Е.Н. Кладницкая, Г.И. Копылова,  
А. Михул, В.Н. Гненев, Е.С. Соколова, М.И. Соловьев. Препринт ОИЯИ Р-508,  
Дубна 1964
16. M.Roos. Rev.Mod.Phys. 35 314 (1963).
17. W.J.Kerman, D.E.Lyon, cmd H.B.Cranley. Phys.Rev.Lett. 15, 803 (1965) .

Рукопись поступила в издательский отдел  
5 октября 1986 г.

Т а б л и ц а 1

Импульс (Гэв/с)	4	7,5	10
Число случаев	736	519	304
$\sigma$ (мб)	$2,57 \pm 0,09$	$3,7 \pm 0,3$	$3,30 \pm 0,19$
$P^* \pi^+$ (Мэв/с)	$361 \pm 5$	$481 \pm 10$	$496 \pm 12$
$\bar{P}^* \pi^-$ (Мэв/с)	$358 \pm 5$	$475 \pm 10$	$556 \pm 15$
$P_{\perp} \pi^+$ (Мэв/с)	$273 \pm 9$	$328 \pm 8$	$350 \pm 10$
$P_{\perp} \pi^-$ (Мэв/с)	$272 \pm 8$	$332 \pm 7$	$376 \pm 10$
$\frac{\pi^+}{\pi^-}$ / $\frac{\pi^+}{\pi^-}$	$1,21 \pm 0,06$	$0,92 \pm 0,06$	$1,11 \pm 0,09$
$\frac{\pi^+}{\pi^-}$ / $\frac{\pi^+}{\pi^-}$	$1,09 \pm 0,06$	$1,20 \pm 0,07$	$1,42 \pm 0,12$

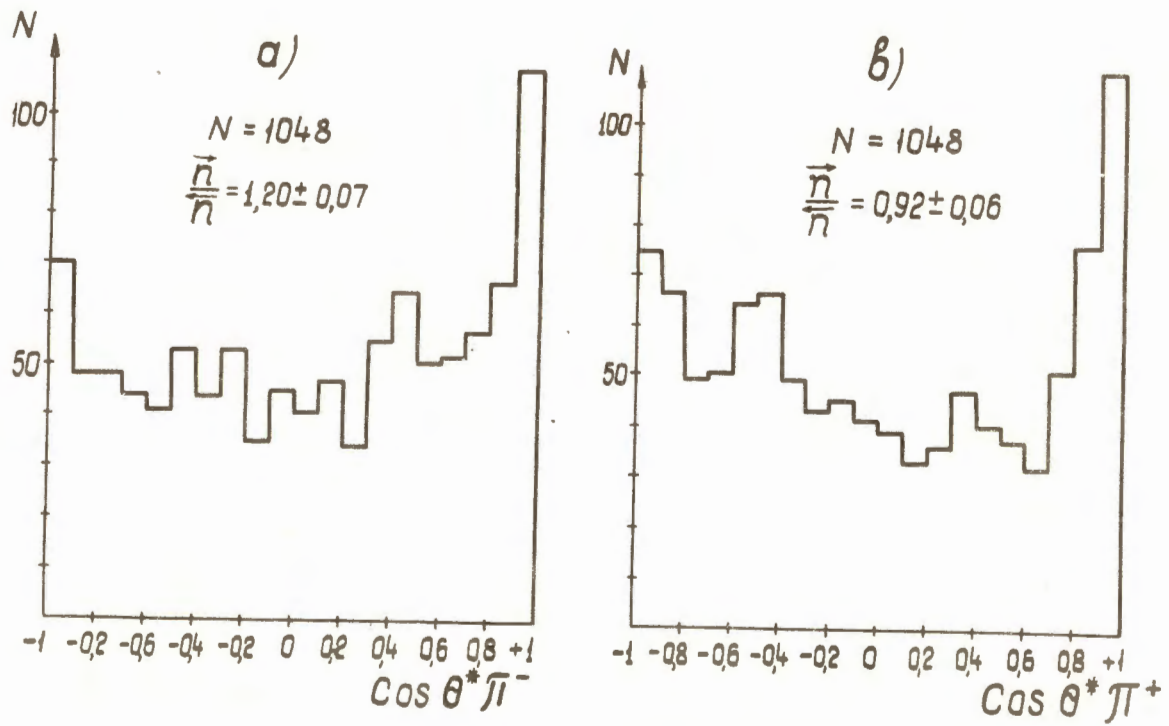


Рис. 1. Угловые распределения пионов в с.ц.м. а)  $\pi^-$  -мезонов, в)  $\pi^+$  -мезонов.

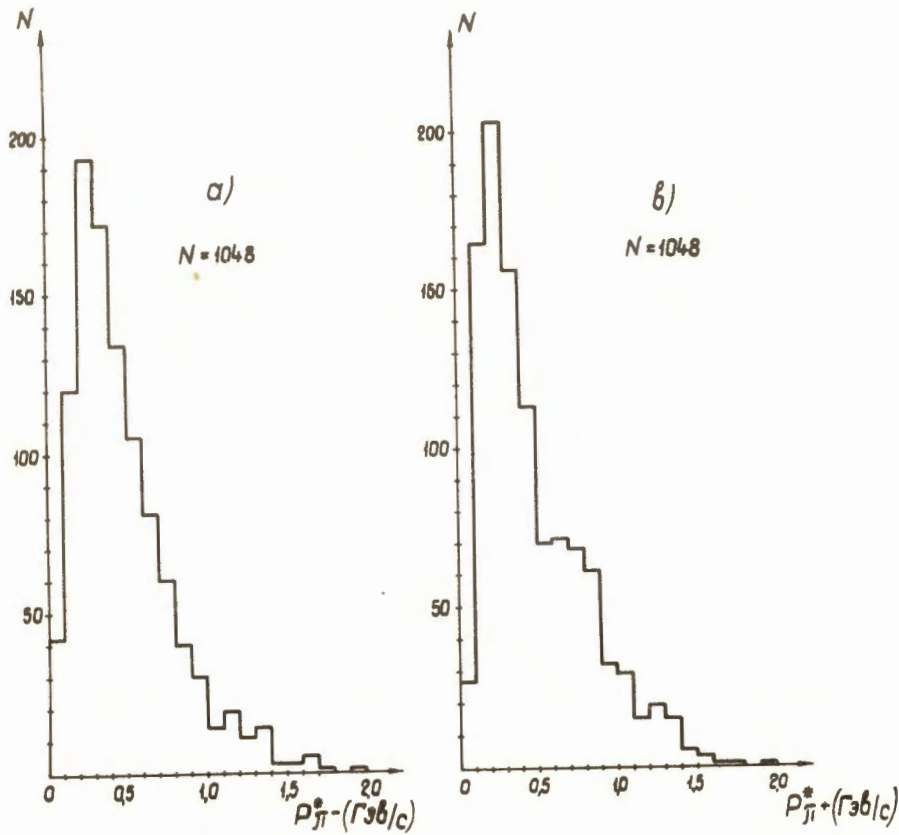


Рис. 2. Импульсные распределения пионов в с.ц.м. а)  $\pi^-$ -мезонов, в)  $\pi^+$ -мезонов.

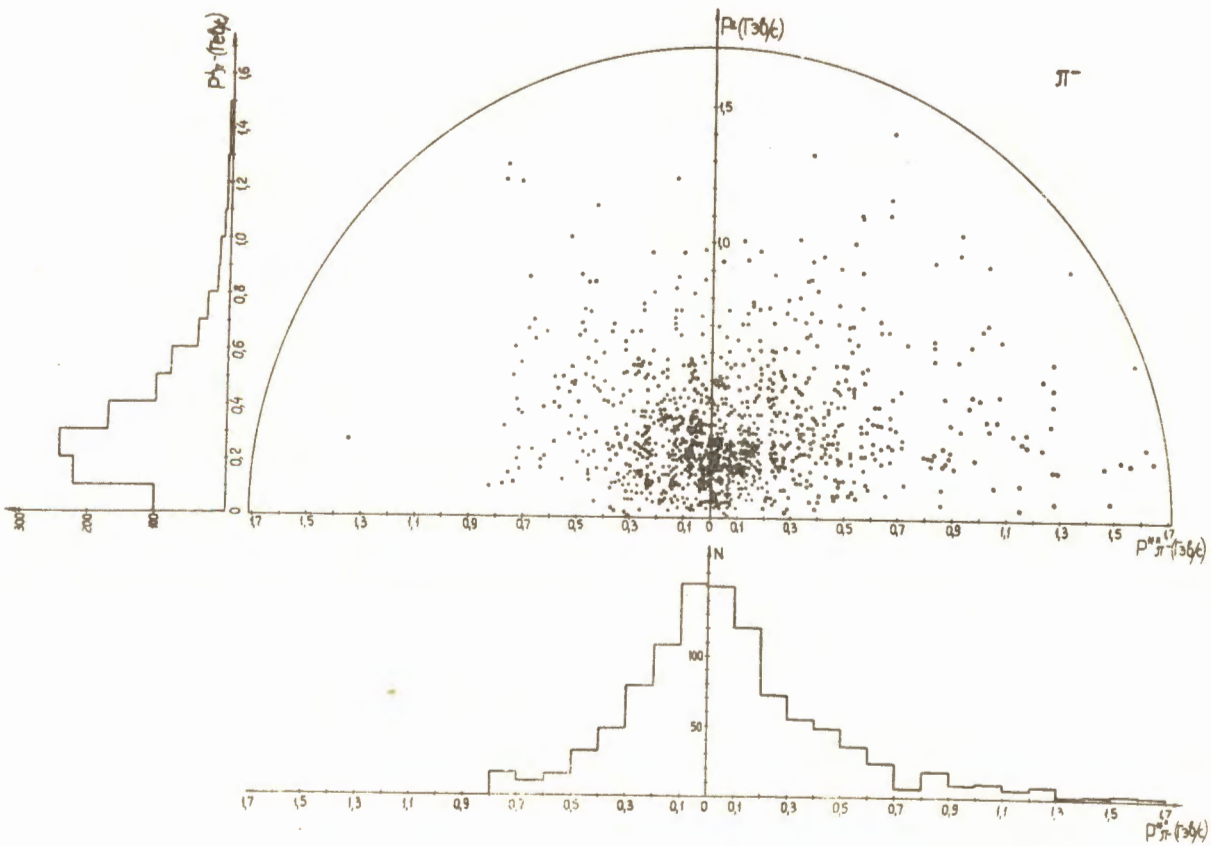


Рис. 3.  $P_{\perp} - P_{\parallel}^2$  распределение для  $\pi^-$ -мезонов.

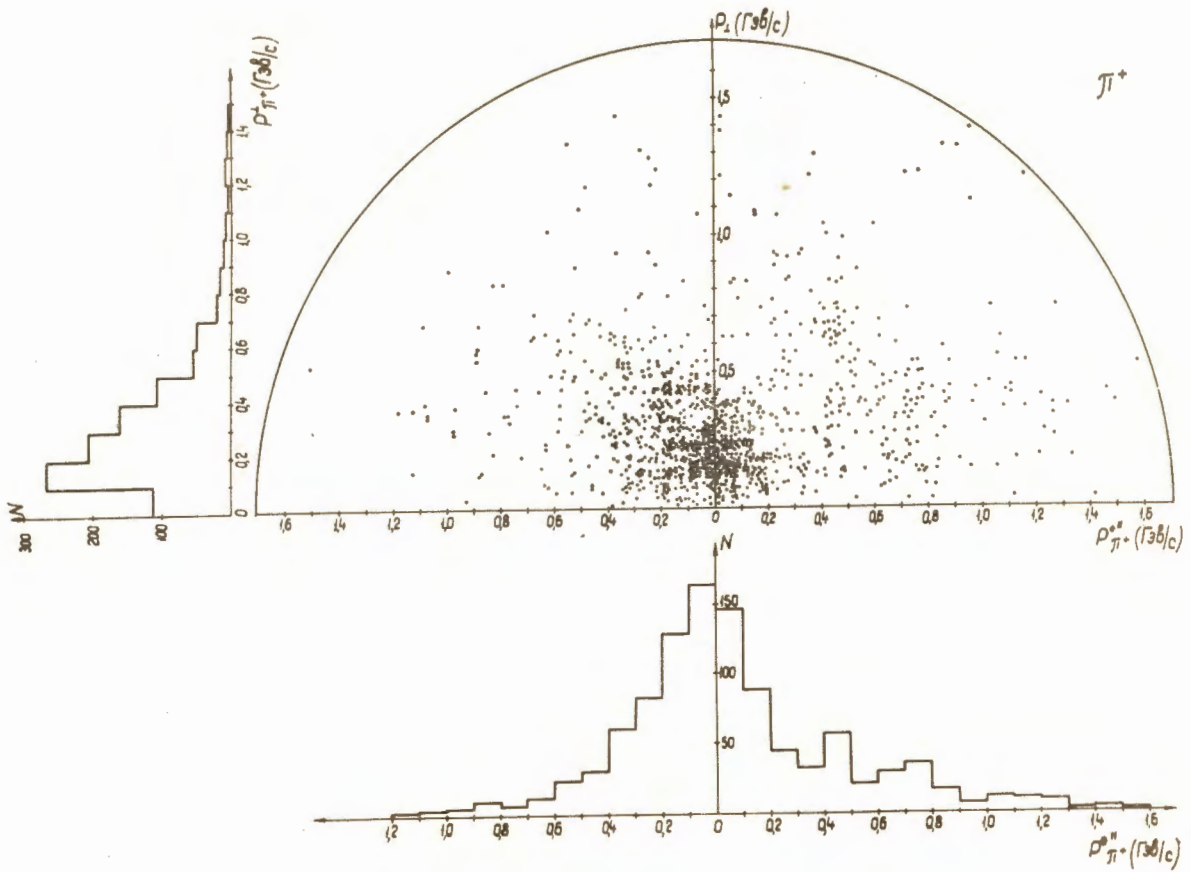


Рис. 4.  $P_{\perp} - P_{\parallel}^{*}$  распределение для  $\pi^+$ -мезонов.

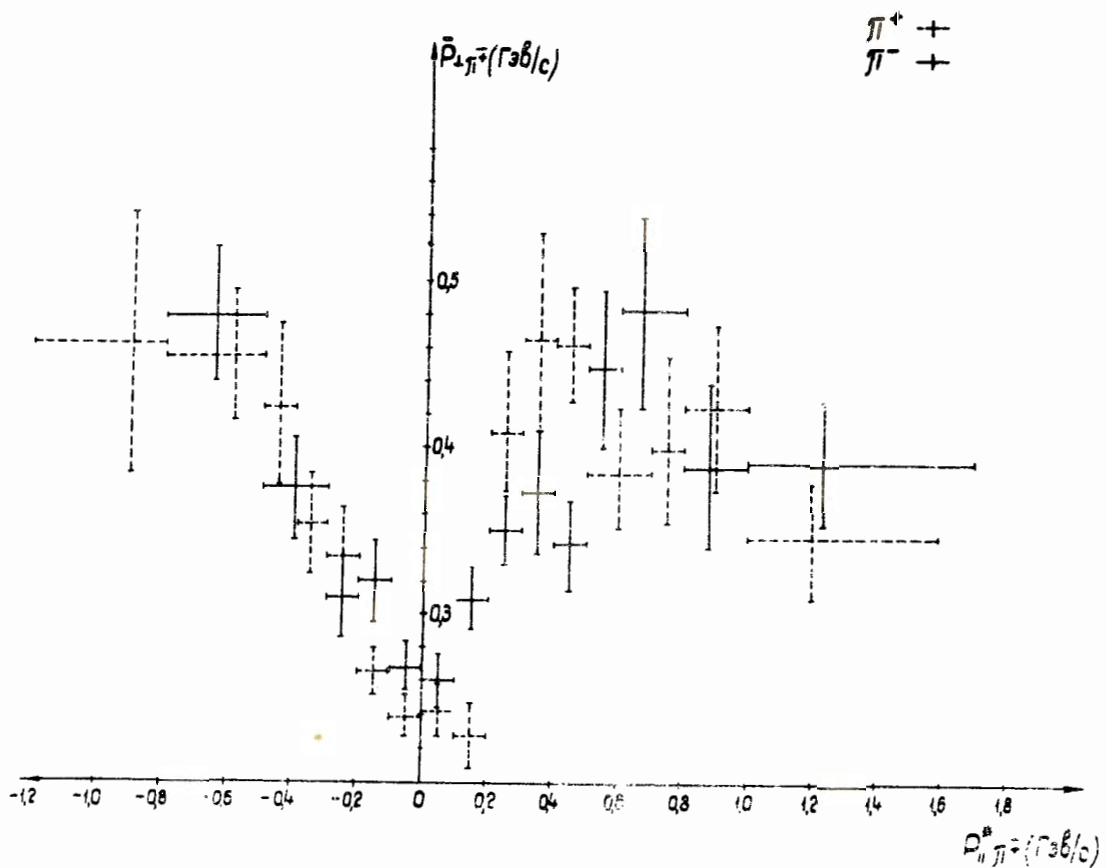


Рис. 5. Зависимость средних поперечных импульсов  $\pi^-$ - и  $\pi^+$ -мезонов от продольных импульсов пионов в с.п.м.

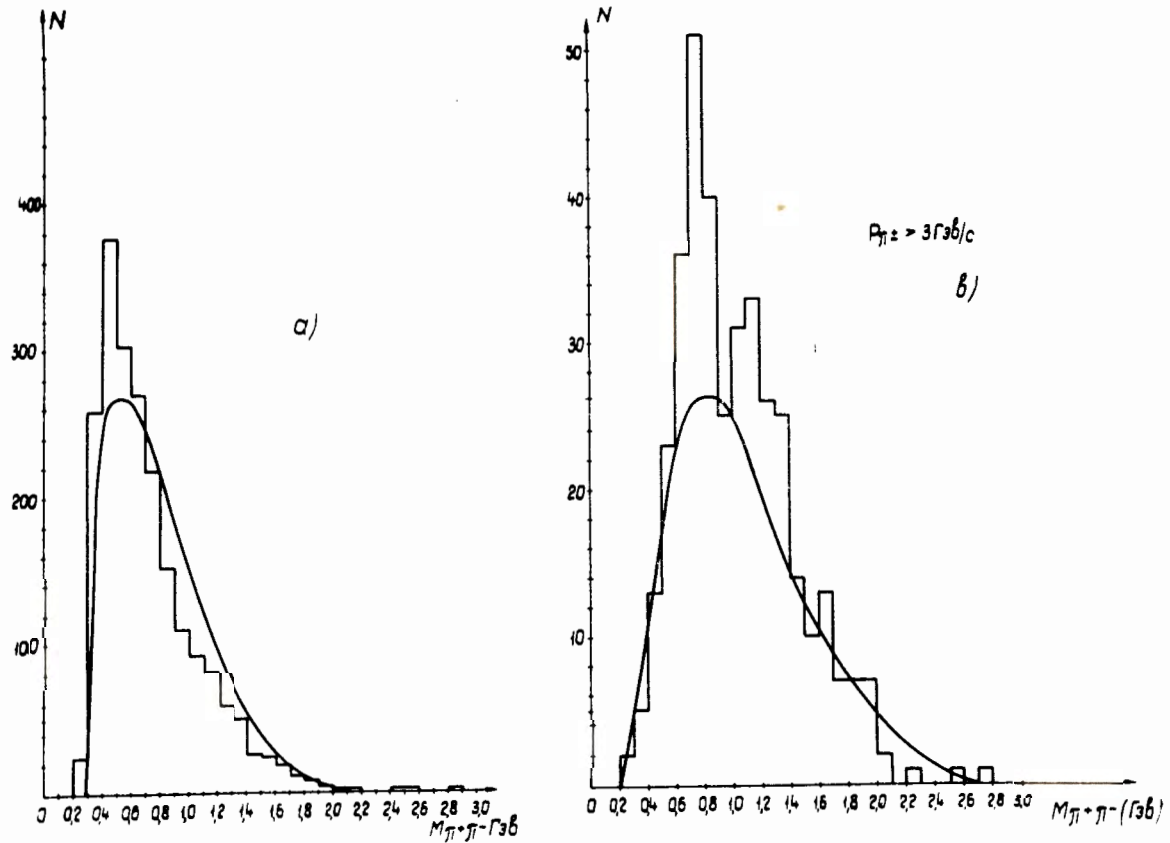


Рис.6. Распределения по эффективным массам  $M_{\pi^+\pi^-}$ , а) по  $M_{\pi^+\pi^-}$  для всех реакций с нейтронами. О фоновой кривой см. текст,  
б) по  $M_{\pi^+\pi^-}$  для событий с  $P_{\pi^+} > 3$  Гэв/с.  
Фазовая кривая получена по методу Монте-Карло, и нормирована по области  
 $M_{\pi^+\pi^-} > 1,4$  Гэв.

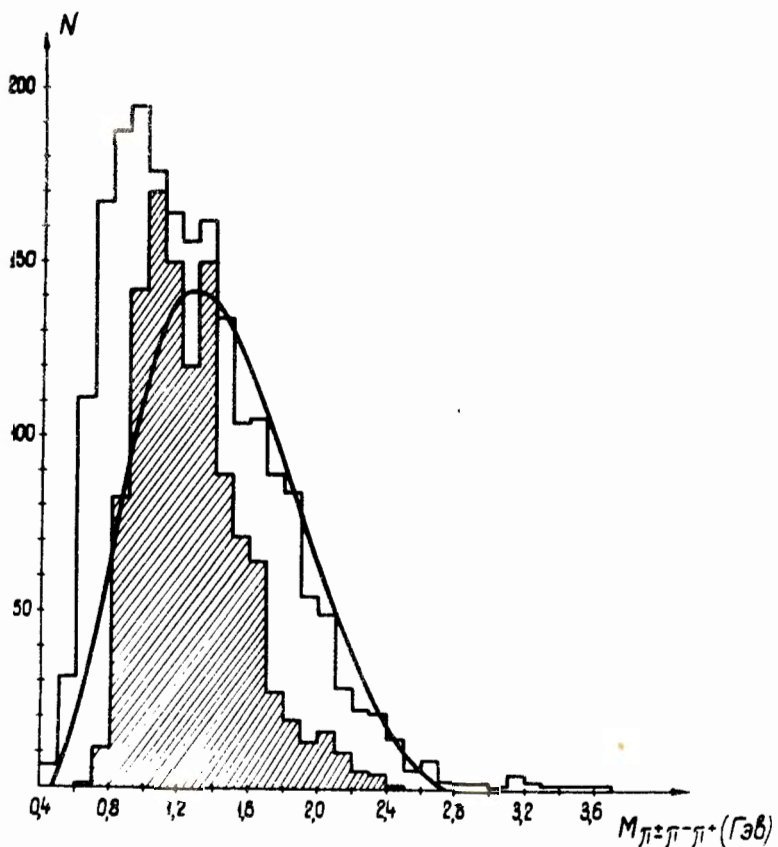


Рис. 7. Распределение по  $M_{\pi^+\pi^-\pi^+\pi^-}$  для всех событий с нейтронами. Заштриховано распределение по  $M_{\pi^+\pi^-\pi^+\pi^-}$  для событий, у которых  $0,6 \text{ Гэв} < M < 0,9 \text{ Гэв}$ . Фоновая кривая нормирована на область  $M_{\pi^+\pi^-\pi^+\pi^-} > 1,4 \text{ Гэв}$ . О фоновой кривой см. текст.

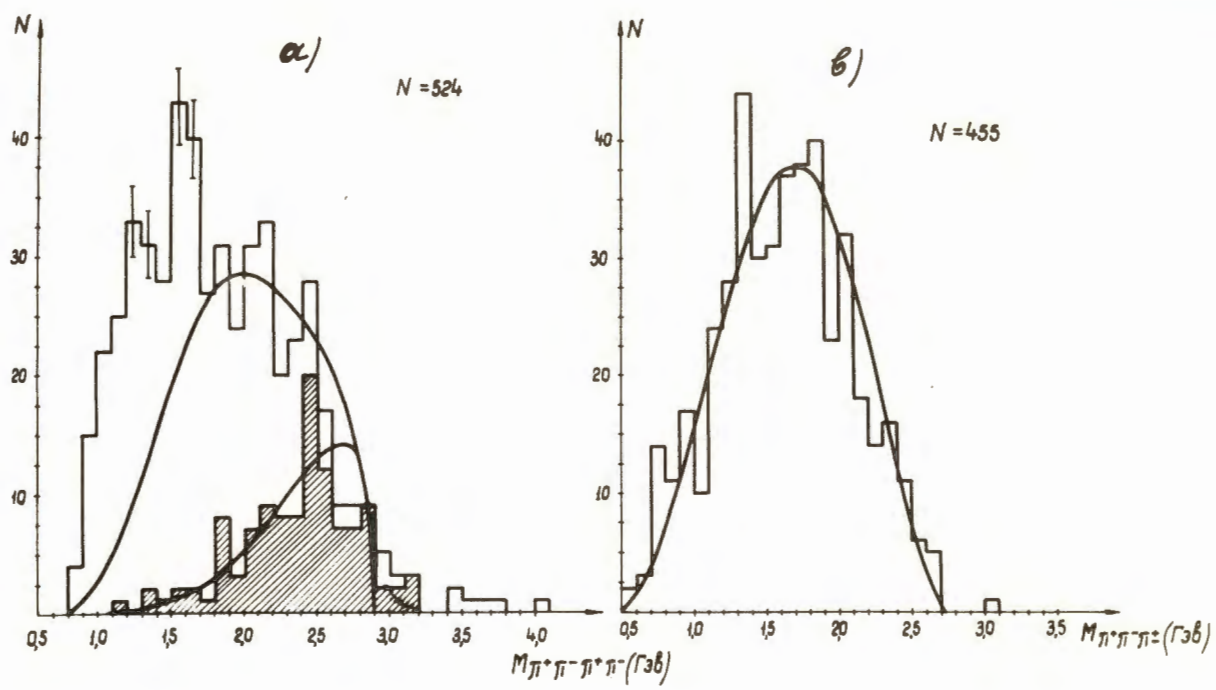


Рис. 8. а) Распределение по  $M_{4\pi}$ . Фоновая кривая нормирована по области  $M_{4\pi} > 1,7$  Гэв. Заштриховано распределение по  $M_{4\pi}$  для группы событий без  $\pi^0$ -мезонов. На него нормирована фазовая кривая  $M_{4\pi}$  для реакции  
 $\pi^- p \rightarrow \pi^- \pi^+ \pi^+ \pi^-$ .

в) Распределение по  $M_{3\pi}$  для группы событий без  $\pi^0$ -мезонов. На него нормирована фазовая кривая  $M_{3\pi}$  для реакции  $\pi^- p \rightarrow \pi^- \pi^+ \pi^+ \pi^-$ .

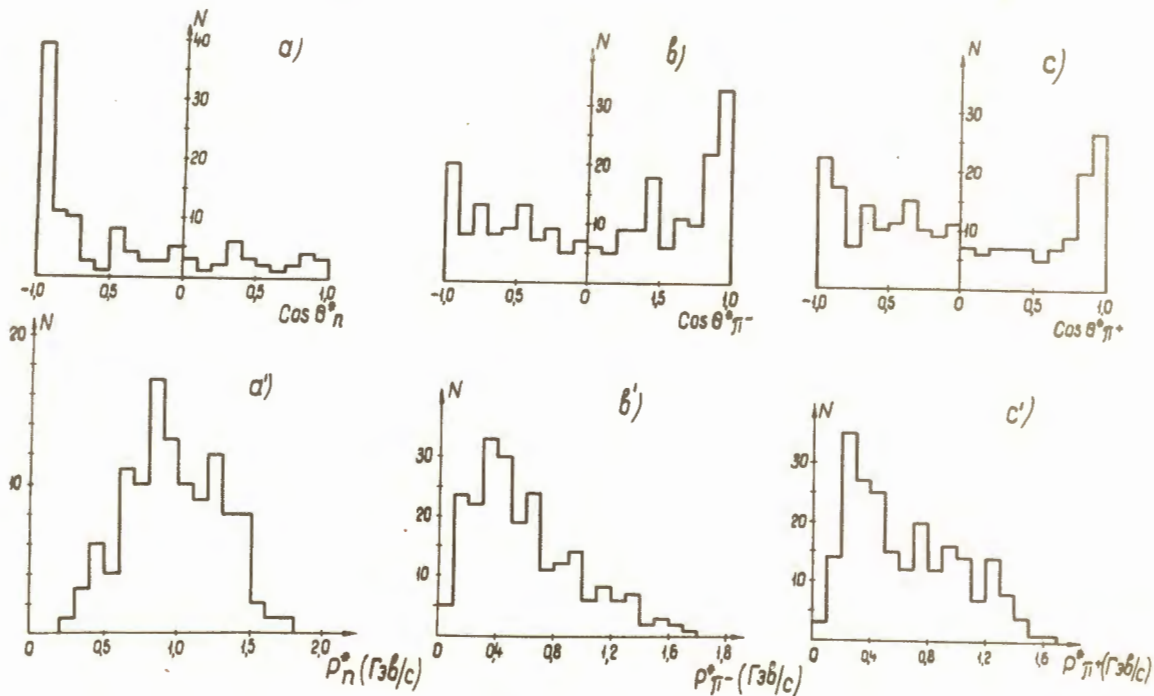
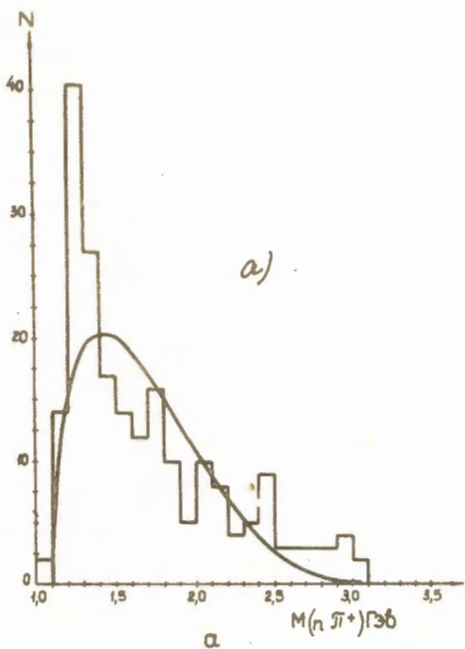
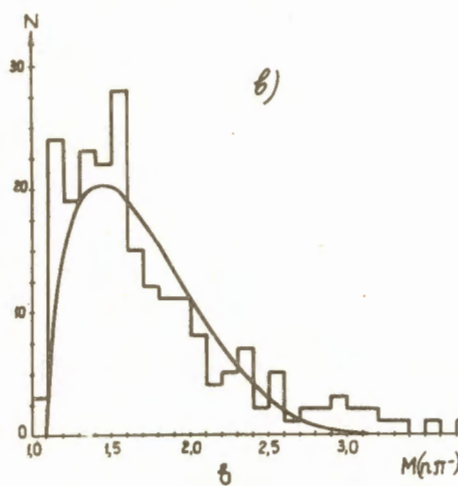


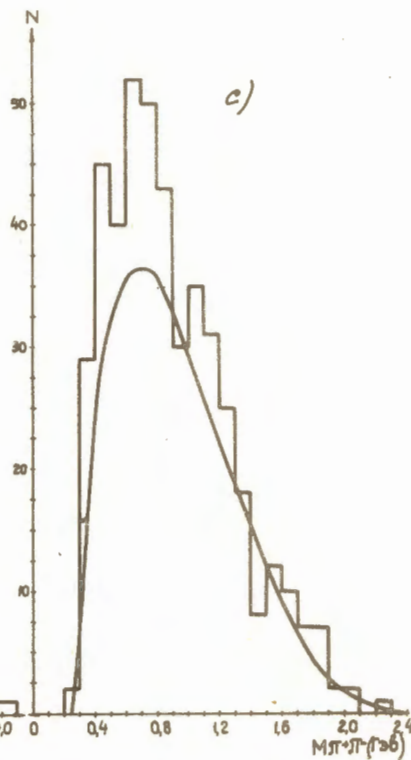
Рис. 9. Угловые и импульсные распределения частиц для группы событий без  $\pi^0$ -мезонов а) и а') нейтронов; в) и в')  $\pi^-$ -мезонов; с) и с')  $\pi^+$ -мезонов.



a)



b)



c)

Рис. 10. Распределение по эффективным массам а)  $M_{\pi^+\pi^+}$ , в)  $M_{\pi^-\pi^-}$ , с)  $M_{\pi^+\pi^-}$  для группы событий без  $\pi^0$ -мезонов. Фазовые кривые для  $M_{\pi\pi}$  нормированы по области  $M_{\pi\pi} > 1,4$  Гэв.

На рис. 10с фазовая кривая нормирована по всей области, кроме 0,6 Гэв  $< M_{\pi^+\pi^-} \geq 0,6$  Гэв.